

中部工業大学大学院 学生員 齋藤 力
 中部工業大学 正員 竹内 伝史
 豊橋技術科学大学 正員 青島綱次郎

道路交通振動の指標は、公害対策基本法の中で以下のように明記されている。「5秒間隔、100個またはこれに準ずる間隔、個数の測定値の80%レンジの上端の数値を昼間・夜間の区分ごとにすべてについて平均した数値とする。」いわゆる L_{10} である。一方、指標と振動の被害意識との対応においては、 L_{10} の他、1・2 の指標が提案されその有効性の検証も試みられている。

そこで本研究はその1つの指標である、一定計測時間中の最大振動レベル、 L_P に着目し、 L_P と被害意識との対応を行う前に、その発生要因分析を通じて、 L_{10} との相違を明確にし、あわせて推計モデルを提示することを目的とした。また、路側付近の倍距離減衰量についても考察を加えた。なおデータについては、'79年8月～11月に名古屋及びその近郊の幹線街路を対象路線として実測・集計したもの用いている。データ採取は98地点において行った。

1. L_P 分析の意義 図-1に L_P と L_{10} の相関図を示す。相関係数は 0.88 と高い値を示した。この図から L_P は L_{10} より約 8dB 大きく、振動レベルの増加に伴って両者のギャップは、やや小さくなっている傾向が見られる。

しかし、回帰直線を大きくはずれている振動も少なくなく、回帰式との平均偏差量は ±3dB 程度である。この値は、振動低減対策を施すことによて得られる値に相当し、無視出来得ない。また、 L_{10} の 50dB 以下あたりから、両者の間にバラツキが見られ始め、 L_P の導動が注目される。以上のことから、 L_P に着目して分析を行う意義は高いと思われる。

2. 道路要因の選択 車道幅から 5m 地点（路側）における L_P と諸道路条件との関係を定量的把握するため、路側の L_P を外的基準、道路諸要因を説明変数として数量化理論工類の分析を行った。表-1 に全要因を説明変数とした場合、各要因のレンジ・偏相關係数の大きさを、それそれ丸・三角印の大きさで示した。

ここで判るように、 L_P と L_{10} では、「信号サイクル」「大型車交通量」については、影響力に関して大きく異なっていることがわかる。そこでそれらの関係をより鮮明にするため、変数選択を次の方法で行った。得られたレンジの大きさの大きい順に、順次、変数を増加させて、各段階の重相関係数を求めた。その結果を図-2 に示す。

これより、総交通量・地質・信号距離・車速の4要因については、 L_P の重相関係数の増加にはほとんど寄与しないことが判るので、これら以外の7要因を用いて分析を行う。この結果は、 L_{10} について

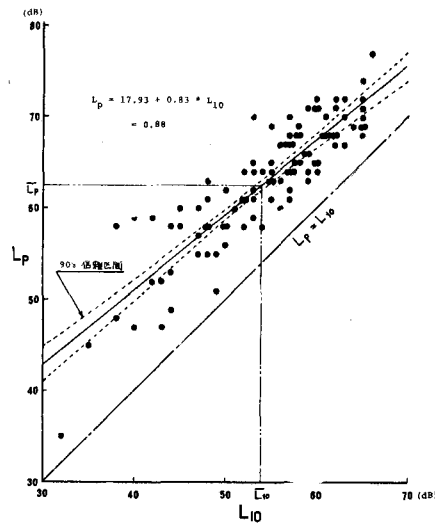
図-1 L_P と L_{10} の相関

表-1

分析名	平均幅 (cm)	路面 材質	車線	側溝	舗装 条件	信号 機器	大型車 交通量	総交通 量	地質	信号 距離	車速
MTW	4	3	3	2	4	3	3	3	2	2	3
L_P (レジン)	●	●	●	●	●	●	○	○	○	○	○
L_{10} (レジン)	●	●	●	●	●	●	○	○	○	○	○
L_P (レンジ)	△	△	△	△	△	△	△	△	△	△	△
L_{10} (レンジ)	△	△	△	△	△	△	△	△	△	△	△

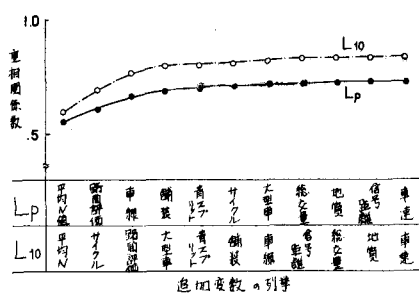


図-2

も同様である。この場合の重相関係数は L_p で 0.720, L_{10} で 0.822 となつた。また、カテゴリ一总数は 22 である。

3. 路面振動ピークモデル (LPモデル)

次に変数選択された 7 個の要因により予測される \hat{L}_p と実測値 L_p との誤差を各地点について計算した。そしてその値が 95% 信頼限界をはずれる地図 (3 地図) を除くことによって、表-2 の LP モデルが得られた (表-2)。表-2 の右端の列には、同様に求められた L_{10} の場合のレンジを示しておいた。

ここで、 L_p , L_{10} のレンジ・カテゴリースコアで両者の比較をすると、以下のことが言える。 L_p , L_{10} ともに最も影響を受けている要因は、深さ 5m までの平均 N 値である。そのレンジは 12dB 程度で、他の 2~5 倍の影響力を持っている。カテゴリースコアは、N 値が 10 以上場合 (-) となっている。続いて L_p では、路面状態の良悪の程度である路面評価が影響している。スコアは「良い」以上の路面のみ (-) に作用している。一方 L_{10} では、信号サイクルとなることがあることが注目される。これは、 L_{10} は周囲のパラメータを介して得られる評価であることに原因があると考えられる。 L_p ではその他、車線数、サイクルからも比較的強く影響されているが、大型車については L_{10} のレンジが約 1/2 となる、いることも注目に値する。

この LP モデルは重相関係数が 0.744 あり、RMS 推定誤差は平均 4.12dB とデータの標準偏差と比較して小さくなっている。

4. 倍距離減衰量の考察

倍距離減衰量は、車道

指標	5m - 10m		10m - 20m	
	L_p	L_{10}	L_p	L_{10}
平均値	2.20 dB	1.52 dB	2.61 dB	2.24 dB
標準偏差	2.19 dB	2.30 dB	1.95 dB	2.04 dB
変動係数	99.5	151.3	74.7	91.1
分散	4.80	5.29	3.79	4.14
相関性	$r = 0.42$		$r = 0.62$	

端から 5-10m, 10-20m の指標別レベル差である。図-3 の A), D) にはそれぞれ L_{10} , L_p の両減衰量の分布が示してある。この分布から表-3 に示す減衰特性が判つた。また強制レベルが減衰量に影響するかを分析するため、

L_{10} では 50dB, L_p では 60dB で減衰分布を 2 分割し、分割

される集合に属する減衰

量を掛け平均値の差の検

定を行なう (B), (C), (E), (F))。

その結果、B)だけが $p < 0.05$

で有意だった。こより

弱制レベルの影響を考え

られるのは、 L_{10} の 10m ま

での場合のみであり、 L_p

では、一定値への収束傾

向性がより顕著である。

といふことが判つた。

(計算には名古屋大計算

センタ - SPSS を用いた。)

表-2 LP モデル

アイテム	カテゴリ	カテゴリスコア	データ	スコア図	レンジ	偏相関係数	L_{10} のレンジ
大型車両量 (台/ha)	0 ~ 30 30 ~ 200 200 ~ HI	-0.84 0.80 -0.32	21 37 37	↗	1.98 (7)	.155 (6)	4.37 (4)
信号サイクル (秒)	0 ~ 130 130 ~ 150 150 ~ HI	-0.71 -0.39 1.81	36 37 22	↙	2.90 (4)	.209 (4)	6.75 (2)
青芝アリット (%)	0 ~ 35 35 ~ 50 50 ~ 60 60 ~ HI	-0.52 -0.28 -0.16 1.53	18 31 31 15	↘	2.49 (6)	.143 (7)	3.27 (6)
路面評価	1.0 ~ 2.3 2.3 ~ 3.6 3.6 ~ 5.0	1.19 1.08 -3.35	34 37 24	↔	5.62 (2)	.386 (2)	6.19 (3)
舗装	アスファルト コンクリート 7車線以上	-0.70 1.87	69 26	↙	2.57 (5)	.241 (3)	2.96 (7)
合計車線数	1~4 車線 5~6 車線 7車線以上	-1.25 0.33 1.40	38 30 27	↖	2.98 (3)	.207 (5)	3.60 (5)
深さ 5m までの 平均 N 値	0 ~ 6 6 ~ 10 10 ~ 25 25 ~ HI	2.16 3.05 -0.39 -5.57	14 32 28 21	↙ ↘	11.17 (1)	.555 (1)	12.45 (1)

$$R = 0.744 \quad L_p \text{ 平均 } 63.52 \text{ dB} \quad \text{標準偏差 } 6.1748$$

$$L_p \text{ のデータの (最大値, 最小値)} = (76 \text{ dB}, 47 \text{ dB})$$

表-3

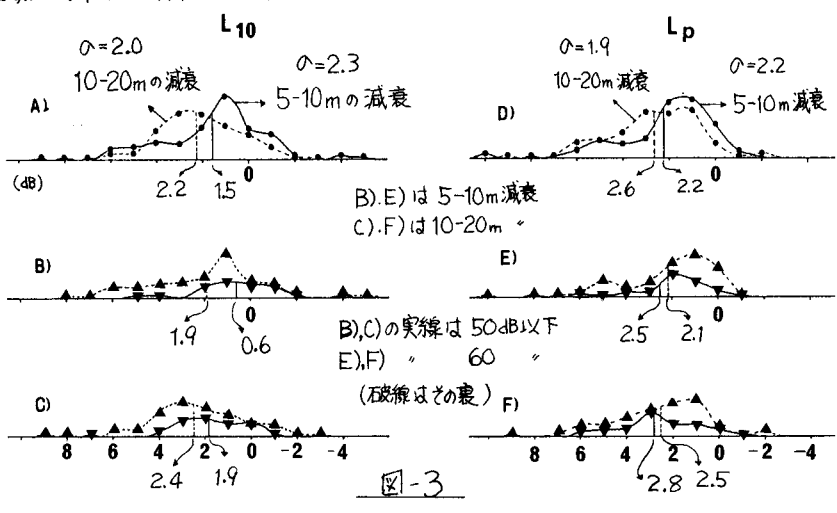


図-3